

## 굴폐각과 인산으로부터 수산화아파타이트 분말 합성에 관한 연구

류 수 착<sup>†</sup>·엄 지 영

밀양대학교 신소재공학과

### A Study on The Synthesis of Hydroxyapatite Powders Using Oyster Shells and H<sub>3</sub>PO<sub>4</sub>

Su Chark Ryu<sup>†</sup> and Ji Young Eom

Department of Materials Engineering, Miryang National University, Miryang 627-130

(2002년 6월 1일 받음, 2002년 9월 16일 최종수정본 받음)

**Abstract** Hydroxyapatite powders were prepared after heating at 1250°C by the direct reaction using oyster shells and H<sub>3</sub>PO<sub>4</sub>. Properties of hydroxyapatite powders were investigated as XRF, XRD, DTA, FT-IR, SEM. Only hydroxyapatite was observed in XRD powders which was heated at 1250°C for 2 hours and there was no remained CaO in that sample. And the results of FT-IR of sample was confirmed hydroxyapatite. Sample was agglomerated together, but needle shape morphology was observed in powders heated at 1250°C.

**Key words:** Hydroxyapatite, oyster shell, H<sub>3</sub>PO<sub>4</sub> solution

### 1. 서 론

지금까지 치과 및 의과용 생체재료로서 경제성과 물리적 강도가 비교적 양호한 티타늄 및 코발트 합금, 탄소복합체, 스테인레스 강등의 금속재료가 주로 사용되어 왔으나<sup>1)</sup>, 이와 같은 금속재료들은 환경에 따라서 다양한 형태로 부식이 일어날 수 있고 독성을 발할 수 있는 문제점을 가지고 있기 때문에 이를 해결하기 위해서 고순도 알루미나나 지르코니아, 바이오 글라스, 수산화아파타이트, 인산칼슘 화합물등의 생체 친화성이 양호할 뿐만 아니라 가공성도 우수한 세라믹스 재료들의 사용이 증가되고 있다. 특히 이들 중 수산화아파타이트는 생체재료로서 인체내의 경조직에 속하는 뼈나 치아를 구성하는 무기질 성분을 주성분으로 하고 있으므로 이에 대한 많은 연구가 진행되어 왔다.<sup>2~5)</sup> 따라서 수산화아파타이트 합성법에는 여러 방법이 있는데 일반적으로 알려진 방법으로는 전식법<sup>6)</sup>, 습식법<sup>7, 8)</sup>, 가수분해법, 수열합성법, 침전법 등이 있으며 합성법에 따라서 제조되는 분말의 특성, 즉 입자크기 및 형태, 입도분포가 각각 달라진다. 또한, 많은 연구자들에 의하여 출발원료도 CaCl<sub>2</sub>, Ca(NO<sub>3</sub>)<sub>2</sub>, (NH<sub>4</sub>)<sub>2</sub>HPO<sub>4</sub>, Ca(OH)<sub>2</sub>등 다양하게 사용되어 연구되어져 왔으며<sup>9, 10)</sup> 공장배수중의 인산분을 사용하여 수산화아파타이트를 제조한 경우도 있다.

본 연구에서는 해안 양식업 중에서도 비중이 높은 굴양식업에서 발생되는 굴폐각과 인산(H<sub>3</sub>PO<sub>4</sub>)을 출발원료로 사용하여 직접 반응시켜서 수산화아파타이트를 제조하고자 하였으며 수산 양식업에서 다량 배출되고 있는 굴폐각으로 인한 연안 해안 지역의 오염 및 자연경관의 훼손 그리고 위

생상의 문제등으로 야기되는 환경문제를 줄이고자 시도하였다. 그리고, 수산화아파타이트 분말을 제조하는데 있어서 Ca와 P의 몰비, 반응시간, 과포화도, 열처리 온도 등의 제조조건 및 제조방법이 복잡하고 어려운 점을 감안하여 원료의 화학양론적인 방법에 의해 직접 합성시켜 제조과정을 보다 용이하게 하여 수산화아파타이트 분말을 제조하고자 하였다. 또한, 제조된 수산화아파타이트 분말의 열처리 온도에 따른 생성상 및 열적 특성에 관하여 검토하였다.

### 2. 실험 방법

출발원료로는 남해안 고성에서 폐기된 굴껍질과 98%의 인산(H<sub>3</sub>PO<sub>4</sub>, daejung사)을 사용하였다. 먼저 굴껍질을 세척하여 염분 및 표면 이물질을 완전히 제거한 후 대기 중에서 건조하고 분쇄기를 이용하여 분말화하였다. 분말화 된 굴껍질 분말은 170mesh에서 체가름하여 중류수를 용매로 사용하여 분산시킨 후 H<sub>3</sub>PO<sub>4</sub> 용액과 8시간동안 직접 반응시켰다. 이 때 H<sub>3</sub>PO<sub>4</sub> 용액은 파펫을 이용하여 천천히 적하시켰고, 인산량은 화학양론적으로 굴껍질 분말의 성분인 CaCO<sub>3</sub> 1mole에 대하여 0.6M을 첨가하였다. 반응된 분말은 회전식 진공증발기로 건조한 후 전기로를 이용하여 여러 온도에서 2시간 열처리하였다. 열처리된 분말은 결정상을 확인하기 위하여 X선 회절 분석기(Dmax 2200, Rikagu co. Ltd, Japan)를 이용하여 측정하였으며, 제조된 분말의 열적 변화를 조사하기 위하여 시차 열분석기(TG-DTA 92 18, Setaram, France)를 이용하여 측정하였다. 구조적인 결합 메카니즘을 조사하기 위하여 적외선 분광분석기(FT-IR, Mattson, USA)를 이용하여 측정하였고 제조된

† E-mail: scryu@mnu.ac.kr

Table 1. XRF result of oyster shell.

Component wt(%)	CaCO <sub>3</sub>	Al <sub>2</sub> O <sub>3</sub>	SiO <sub>2</sub>	Na <sub>2</sub> O	SrO	K <sub>2</sub> O	Fe <sub>2</sub> O <sub>3</sub>	V <sub>2</sub> O <sub>5</sub>
	97.25	0.30	0.56	1.10	0.53	0.07	0.11	0.08

분말의 미세구조를 확인하기 위하여 주사전자현미경(S-2460N, Hitach, Japan)을 이용하여 관찰하였다. 이상과 같은 실험공정을 진행하기 위하여 우선 XRF(1500, Shimazu, Japan)를 이용하여 성분분석을 측정하였다. 측정결과 폐각의 97% 이상이 CaCO<sub>3</sub>로 이루어져 있음을 확인하였으며 이 결과를 기준으로 인산 투여 양을 결정하였다. 이와 같은 XRF 측정 결과를 Table 1에 나타내었다.

### 3. 결과 및 고찰

#### 3.1. X선 회절분석

화학양론적인 방법에 의해 굴껍질 분말 1mole에 대하여 0.6M의 H<sub>3</sub>PO<sub>4</sub>를 천천히 적하시켜 반응시킨 후 회전식 진공증발기를 이용하여 건조하였다. 건조된 분말은 전기로를 이용하여 5°C/min로 승온시켜 500°C, 700°C, 900°C, 1100°C, 1250°C에서 2시간 열처리하고 로냉한 후 XRD 측정을 행하였으며 그 결과를 Fig. 1에 나타내었다. 900°C 미만에서 열처리한 분말에서는 Ca<sub>2</sub>P<sub>2</sub>O<sub>7</sub> 및 CaCO<sub>3</sub>의 결정상이 확인되었다. 900°C ~ 1100°C에서 열처리한 분말은 CaO 및 TCP(tri calcium phosphate) 결정상이 확인되었으나 1250°C에서 열처리된 분말의 XRD 측정결과를 보면 주요피크는 31.8°, 32.9°, 49.5°, 46.7°, 25.9°, 34.1°, 39.8°에서 나타났고 이는 수산화 아파타이트[Ca<sub>5</sub>(PO<sub>4</sub>)<sub>3</sub>(OH)] 결정상으로 확인되었다. 이상과 같은 결과에서 열처리 온도가 증가함에 따라 Ca<sub>2</sub>P<sub>2</sub>O<sub>7</sub> 및 TCP(tri calcium phosphate) 결정상이 HAp(수산화 아파타이트)로 전이됨을 확인할 수 있었다. 또한 시차 열분석 결과에서처럼 1250°C 부근에서 HAp가 생성됨을 확인하였다.(Fig. 2)

3.2. 시차 열분석

굴껍질 분말과 증류수를 혼합하여 hot plate를 이용하여 교반시키면서 0.6mol의 H<sub>3</sub>PO<sub>4</sub>를 천천히 적하시켜 반응시켰다. 이 때 hot plate는 피펫을 이용하여 H<sub>3</sub>PO<sub>4</sub>를 적하시키는 동시에 교반시키기 위해서 사용하였을 뿐 반응온도를 고려하여 열을 가하지는 않았다. 그런 다음, 회전식 진공증발기로 건조한 분말의 시차 열분석한 결과를 Fig. 2에 나타내었다. 시차 열분석 결과에서 보여지듯이 802°C 부근에서 관찰되는 흡열피크는 굴폐각의 성분인 CaCO<sub>3</sub>가 CaO와 CO<sub>2</sub>로의 열분해에 기인한 것이며 이는 일반적인 CaCO<sub>3</sub>의 열분해 온도인 900°C에 비하여 훨씬 낮은 온도에서 열분해가 일어났음을 알 수가 있다. 그리고 1275°C 부근의 흡열피크는 수산화 아파타이트로의 상전이에 기인된 것으로 사료된다. 이와 같은 열분석 결과는 XRD의 결정상을 관찰하여 일치하였다.(Fig. 1)

#### 3.3. 적외선 분광분석

굴껍질 분말 1mole에 대하여 0.6M의 H<sub>3</sub>PO<sub>4</sub>를 석하시켜 반응시킨 분말을 건조한 후 전기로를 이용하여 1250°C에서 2시간 열처리하였다. 이 분말과 KBr을 1:100으로 혼합하여 pellet을 성형한 후 적외선 분광분석기(Mattson, USA)를 이용하여 적외선 스펙트럼을 측정한 결과를 Fig. 3에 나타내었다. PO<sub>4</sub><sup>3-</sup>에 기인된 특성 피크는 567cm<sup>-1</sup>,

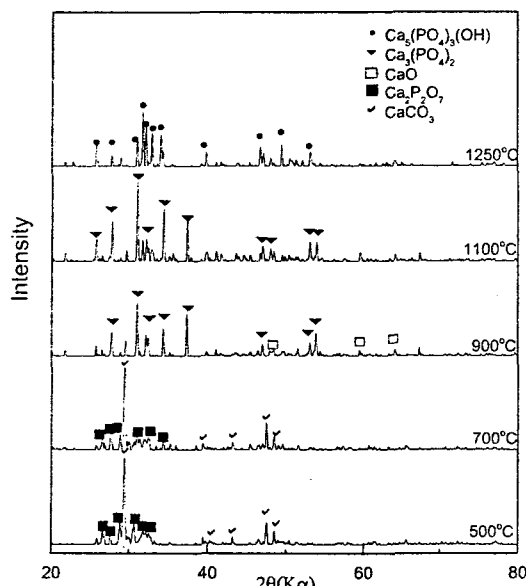


Fig. 1. XRD results of hydroxyapatite powders after heat treatment at 1250°C for 2hour.

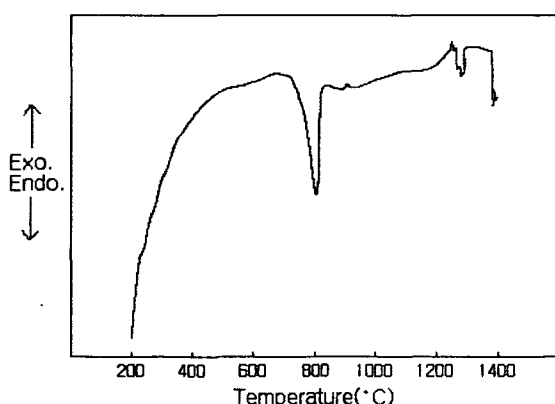


Fig. 2. DTA curve of prepared powders.

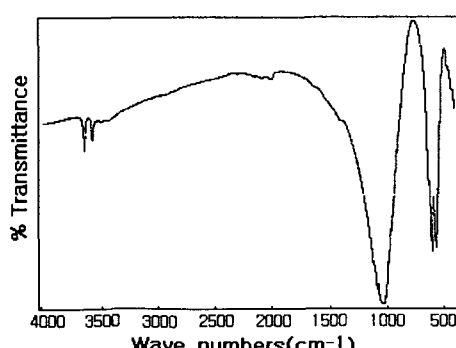


Fig. 3. FT-IR of hydroxyapatite powders after heat treatment at 1250°C.

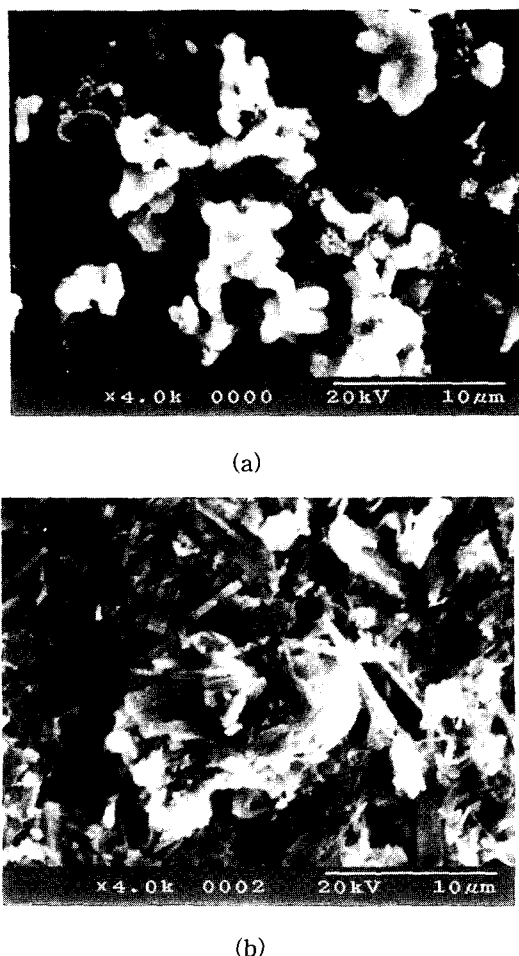


Fig. 4. SEM photographs of prepared powders(A) and powders after heat treatment at 1250°C(B).

$603\text{cm}^{-1}$ ,  $96\text{cm}^{-1}$ ,  $1000\sim1100\text{cm}^{-1}$ 에서 나타났으며  $3571\text{cm}^{-1}$ 에는  $\text{OH}^-$ 에 기인된 특성 피크를 나타내었으며 이들 모두 HAp의 전형적인 특성 피크를 나타내고 있다. 이와 같은 결과는 문헌에 보고된<sup>11)</sup> 정량적인 수산화 아파타이트의 적외선 스펙트럼의 결과와도 일치하고 있다.

### 3. 4. 미세구조 관찰

Fig. 4는 제조된 건조분말과 1250°C에서 열처리한 분말을 초음파 세척기를 이용하여 에탄올에 분산시킨 후 slide glass에 한 방울씩 떨어뜨린 후 건조하여 주사전자현미경 (Hitach, Japan)으로 관찰한 사진이다. SEM 측정 결과에서 보여지듯이 굴껍질 분말과 0.6M  $\text{H}_3\text{PO}_4$ 를 사용하여 제조한 건조분말은 구형에 가까운 형태를 띠고 있으며 서로 응집되어 있는 상태로 관찰되었고 1250°C에서 열처리한 분말은 수산화 아파타이트의 전형적인 형태인 침상이 관찰되었다. 이와 같은 결과는 수산화 아파타이트의 형태가 침상 또는 whisker상으로 관찰되어지며 이는 점차 염상으로 전환된다고 보고된다.<sup>12)</sup>

### 4. 결 론

증류수를 용매로 하여 굴폐각 분말을 분산시킨 후 굴폐각 분말 1mole에 대하여 0.6mole의  $\text{H}_3\text{PO}_4$ 를 천천히 적하시켜 제조한 분말을 1250°C에서 열처리한 후 그 특성을 분석하여 다음과 같은 결론을 얻었다.

- 1) 97% 이상의  $\text{CaCO}_3$  성분을 가진 굴폐각을 원료로 하여 인산( $\text{H}_3\text{PO}_4$ )과 직접 합성한 후 1250°C에서 열처리하여 HAp(hydroxyapatite) 분말을 제조할 수 있었다.
- 2) 제조된 분말의 중간생성물로  $\text{Ca}_2\text{P}_2\text{O}_7$  및  $\text{Ca}_3(\text{PO}_4)_2$  결정상이 확인되었고 열처리 온도가 증가함에 따라서 HAp(hydroxyapatite) 결정으로 전이하였다.
- 3) 적외선 분광분석결과에서 나타난  $\text{PO}_4^{3-}$ 와  $\text{OH}^-$ 에 관련된 피크는 hydroxyapatite의 스펙트럼 결과와 일치하였다.
- 4) 1250°C에서 열처리한 분말의 미세구조는 수산화아파타이트의 전형적인 모양인 침상 및 염상으로 관찰되었다.

### 감사의 글

본 연구는 밀양대학교 학술연구비의 지원을 받아 수행되었습니다.

### 참 고 문 헌

1. Larry L. Hench, J. Am. Ceram. Soc., **74**(7), 1487-1510 (1991).
2. M. AKAO, Ceramics Japan, **20**(12), 1096 (1985).
3. S.G. Lee, H.Y. Ko, J. Korea. Ceram. Soc., **26**(2), 171 (1989).
4. M. Jarcho, C.H. Bolen, M.B Thomas, J. Mater. Sci., **11**, 2027-2031 (1976).
5. M. Aoki, K. Kato, Ceramics Japan, **107**, 469 (1975).
6. B.O. Fowler, Inorg Chem., **13**(1), 207 (1974).
7. Y.G. Shin, H.J. Jung and B.H. Kim, J. Korea. Ceram. Soc., **26**(2), 157-166 (1989).
8. C.E. Kim, H. Park, B.Y. Kim, D.Y. Lee, J. Korea. Ceram. Soc., **27**(7), 907-915 (1990).
9. E. Hayek and E. Newesely, Inorganic syntheses VII, p63-65, McGraw-Hill (1963).
10. H. Tagai and H. Aoki, G.W. Hastings and D. F. Williams, John Wiley & sons 477-488 (1980).
11. K.C. Blakeslee and R.A. Condrate, Sr., J. Am. Ceram. Soc., **54**(11), 559 (1970).
12. J.H. Lee, H. Park and C.E. Kim, J. Korea. Ceram. Soc., **33**(1), 10-13 (1996).